

ДОДАТОК А
СЛАЙДИ ПРЕЗЕНТАЦІЇ

ХАРКІВСЬКИЙ НАЦІОНАЛЬНИЙ УНІВЕРСИТЕТ РАДІОЕЛЕКТРОНІКИ
КАФЕДРА ІМІ

МАГІСТЕРСЬКА АТЕСТАЦІЙНА РОБОТА
НА ТЕМУ

**ЗАХИСТ ДАНИХ СТЕГАНОГРАФІЧНИМИ МЕТОДАМИ НА
БАЗІ ВИКОРИСТАННЯ СТРУКТУРНОЇ НАДМІРНОСТІ
ОПISУ КОНТЕЙНЕРІВ**

*Виконав: Жуков В. В
Керівник: Костроміцький А.І.*

Харків - 2021

2

Мета роботи:

дослідження методів маскування даних з використанням мультиконтейнерів для підвищення безпеки даних обмеженого доступу у ході передавання відкритими каналами інфокомунікаційних систем

КЛЮЧОВІ ПИТАННЯ ТА ЗАВДАННЯ МЕТОДІВ СТЕГANOГРАФІЧНОГО ПРИХОВУВАННЯ ДАНИХ 3

Головні класи завдань, що вирішуються методами стегозахисту інформації:

- забезпечення аутентичності та достовірності даних;
- збереження цілісності даних;
- приховане зберігання даних, доступ до яких має обмежене коло осіб;
- приховане передавання інформації.

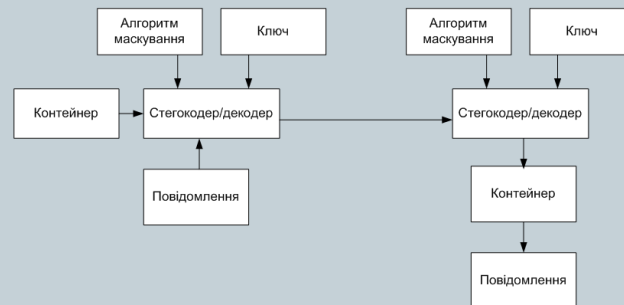


Рисунок 1 – Загальна структурна схема стегосистеми у класичному варіанті побудови

КЛЮЧОВІ ПИТАННЯ ТА ЗАВДАННЯ МЕТОДІВ СТЕГANOГРАФІЧНОГО ПРИХОВУВАННЯ ДАНИХ 4

Ступінь захищеності стегосистеми:

$$L_p = \frac{\gamma_{um}}{\gamma_m} \times 100\% \quad (1)$$

де γ_{um} - ймовірність викриття повідомлення засобами стегоаналізу, або за участю експерта;

γ_m - ймовірності успішної передачі повідомлення

Відносна ємність стегосистеми:

$$C = \frac{d_m}{d_{all}} \times 100\% \quad (2)$$

де d_m - відсоток даних прихованого повідомлення;

d_{all} - загальна кількість біт на опис контейнеру

Залежність між захищеністю та ємністю стегосистеми:

$$C \uparrow \rightarrow L_p \downarrow \quad (3)$$

Показник швидкодії алгоритму (скільки біт D може бути оброблено алгоритмом за одиницю часу t роботи):

$$S = \frac{D}{t} = \frac{D}{t_a + t_r + t_b} \quad (4)$$

де t_a - час підготовчого етапу обробки;

t_r - час на трансформування даних прихованого повідомлення до вигляду, який може бути вбудовано у контейнер;

t_b - час на вбудовування прихованих даних у контейнер.

Загальні вимоги до ефективності функціонування стегосистеми:

$$L_p, C, S \rightarrow \max \quad (5)$$

СТАНДАРТИЗОВАНІ МЕТОДИ ТА АЛГОРИТМИ МАСКУВАННЯ ДАНИХ

Метод останнього біта

Математичний опис процесу модифікації біт LSB:

$$\begin{cases} b^{(\ell)}_{(x,y)} := 0 \mid b^{(k)}_{(i,j)} = 1 \& b^{(\ell)}_{(x,y)} = 0 \\ b^{(\ell)}_{(x,y)} := 1 \mid b^{(k)}_{(i,j)} = 1 \& b^{(\ell)}_{(x,y)} = 1, \end{cases} \quad (6)$$

$$\ell = \overline{1;\Lambda}, k = \overline{1;K}$$

де $b^{(k)}_{(i,j)}$ - біт секретного повідомлення, який необхідно вбудувати у контейнер шляхом модифікації одного з його LSB-біт;
 $b^{(\ell)}_{(x,y)}$ - вихідний біт молодшого розряду.

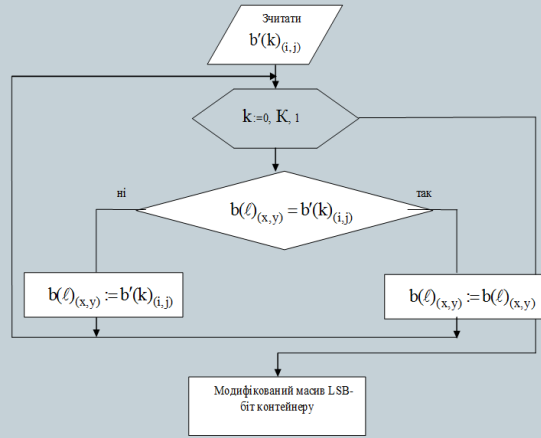


Рисунок 6 – Загальний алгоритм модифікації молодших біт контейнеру на базі LSB-підходу

СТАНДАРТИЗОВАНІ МЕТОДИ ТА АЛГОРИТМИ МАСКУВАННЯ ДАНИХ

Метод останнього біта

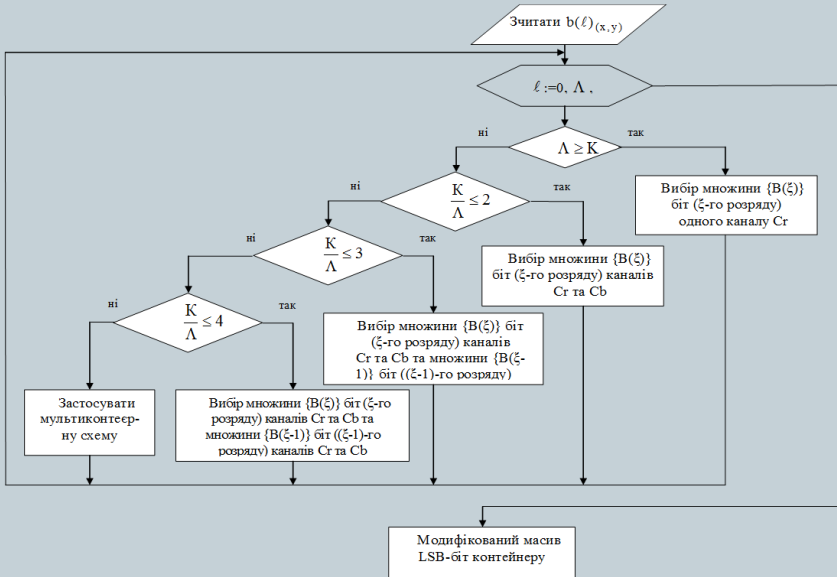


Рисунок 7 – Схема вибору режиму модифікації LSB-біт

СТАНДАРТИЗОВАНІ МЕТОДИ ТА АЛГОРИТМИ МАСКУВАННЯ ДАНИХ

9

Метод останнього біта



Рисунок 8 – Графічний контейнер JPEG (1366x768), що містить частину поеми «Ліада»

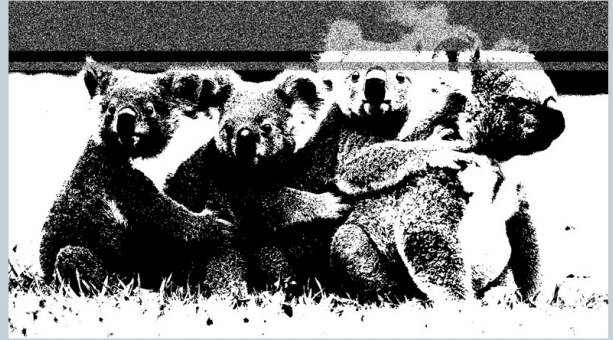


Рисунок 9 – Сукупність наймолодших біт графічного контейнеру JPEG виявлена у результаті візуальної атаки

СТАНДАРТИЗОВАНІ МЕТОДИ ТА АЛГОРИТМИ МАСКУВАННЯ ДАНИХ

10

Метод маскування даних на базі дискретного косинусного перетворення

Математичний опис принципу інкапсуляції біт прихованого повідомлення:

$$\begin{cases} |\eta(\text{ch})_{x,y}^{(\max)} - \eta(\text{ch})_{x,y}^{(\min)}| > \varepsilon \rightarrow b'(k)_{(i,j)} = 0 \\ |\eta(\text{ch})_{x,y}^{(\max)} - \eta(\text{ch})_{x,y}^{(\min)}| < -\varepsilon \rightarrow b'(k)_{(i,j)} = 1 \end{cases} \quad (7)$$

де $\eta(\text{ch})_{x,y}^{(\max)}$ та $\eta(\text{ch})_{x,y}^{(\min)}$ - величини максимального та мінімального значень компонент у перетвореному блоці $s_{x,y}$ каналу ch відповідно;

ε - деяка задана величина.

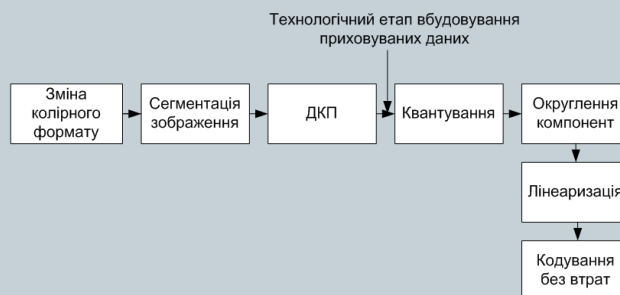


Рисунок 10 – Місце етапу маскування даних на базі дискретного косинусного перетворення у загальному каскаді JPEG-перетворень

СТАНДАРТИЗОВАНІ МЕТОДИ ТА АЛГОРИТМИ МАСКУВАННЯ ДАНИХ

11

Метод маскування даних на базі дискретного косинусного перетворення

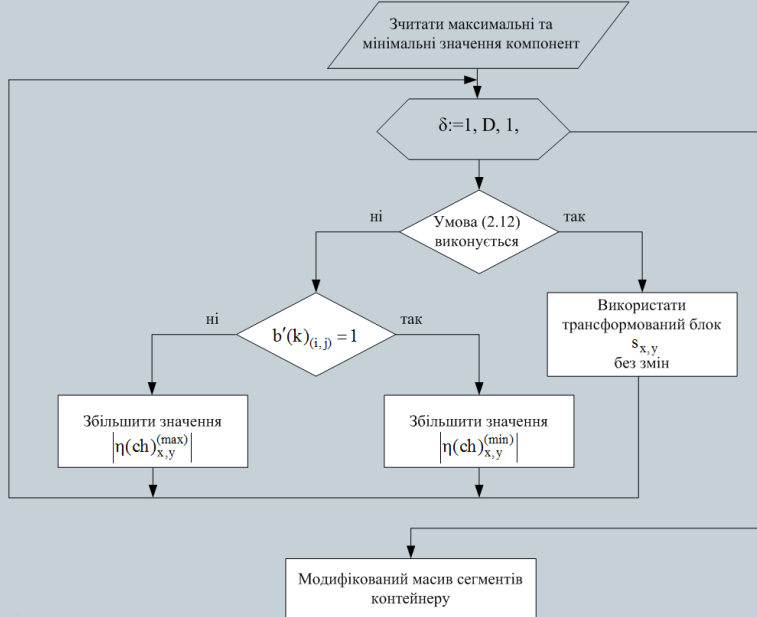


Рисунок 11 – Загальна схема алгоритму вбудовування прихованих даних на базі дискретного косинусного перетворення за встановленою величиною ϵ

СТАНДАРТИЗОВАНІ МЕТОДИ ТА АЛГОРИТМИ МАСКУВАННЯ ДАНИХ

12

Метод маскування даних на базі дискретного косинусного перетворення

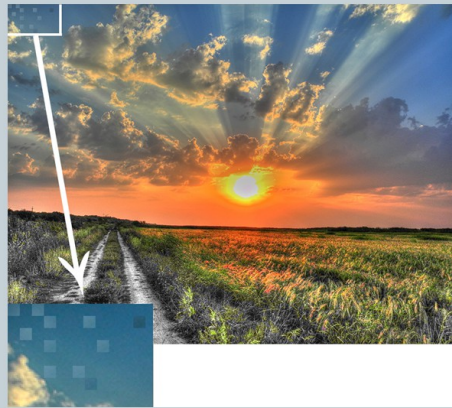


Рисунок 12 – Приклад візуального спотворення контейнеру

МЕТОД МАСКУВАННЯ ДАНИХ НА БАЗІ ВИКОРИСТАННЯ СТРУКТУРНИХ ОСОБЛИВОСТЕЙ¹³ ТА НАДМІРНОСТІ СЕГМЕНТІВ ЗОБРАЖЕНЬ

38	29	14	25	6	8	0	0
27	7	9	11	9	0	0	8
21	14	7	0	7	6	0	0
19	10	0	5	0	0	0	0
5	0	0	10	0	0	0	0
11	0	0	0	5	0	0	0
5	5	7	0	0	0	0	0
0	6	6	5	0	0	0	0

- НЧ-область;
- головна діагональ

Рисунок 13 – Приклад блоку після виконання ортогонального перетворення та квантування

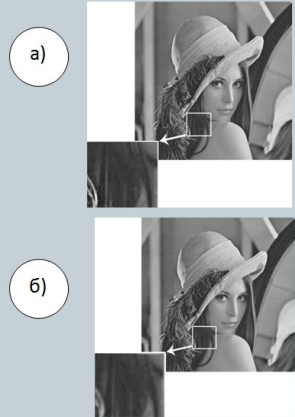


Рисунок 14 – Приклад зміни деталізації фрагментів зображення для незначного а) та високого б) рівнів пригнічення ВЧ-складової



Рисунок 15 – Локалізація ймовірної частотної зони для інкапсулювання біт прихованого повідомлення

МЕТОД МАСКУВАННЯ ДАНИХ НА БАЗІ ВИКОРИСТАННЯ СТРУКТУРНИХ ОСОБЛИВОСТЕЙ¹⁴ ТА НАДМІРНОСТІ СЕГМЕНТІВ ЗОБРАЖЕНЬ



Рисунок 15 – Приклади ненасиченого а), середньо насиченого б) та насиченого зображень в)

Показник структурної складності трансформованого фрагменту $s_{x,y}$:

$$D_{spectr} = f(\bar{\ell}_i) = \frac{\sum_{i=1}^{\mu_\ell} \ell_i}{\mu_\ell}, \quad (12)$$

де ℓ_i - довжина i -ї серії нульових елементів;
 μ_ℓ - кількість нульових серій, виявлених у межах трансформованого фрагменту $s_{x,y}$.

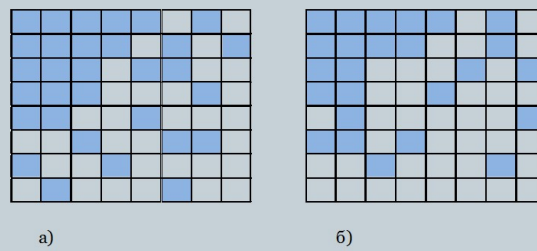


Рисунок 16 – Приклади трансформованих сегментів різного ступеню структурної складності: високої складності а), для якого $\bar{\ell}_i \approx 2$, та низької складності б), для якого $\bar{\ell}_i \approx 5,5$

МЕТОД МАСКУВАННЯ ДАНИХ НА БАЗІ ВИКОРИСТАННЯ СТРУКТУРНИХ ОСОБЛИВОСТЕЙ¹⁵ ТА НАДМІРНОСТІ СЕГМЕНТІВ ЗОБРАЖЕНЬ

Складність фрагменту $s_{x,y}$ у просторовому описі:

$$D_{\text{sptd}} = \sum_{x=1}^8 (p(Y)_{x,y}^{(\text{max})} - p(Y)_{x,y}^{(\text{min})}), \tag{13}$$

де $p(Y)_{x,y}^{(\text{max})}$ та $p(Y)_{x,y}^{(\text{min})}$ - максимальна, та, відповідно, мінімальна величина яскравості пікселя рядка у YCrCb-описі.

Величина динамічного діапазону σ амплітуд компонент у спектральному описі:

$$\sigma = \prod_{i=1}^{10} |\eta(\text{ch})_{x,y}^{(i)}| - \prod_{j=37}^{64} |\eta(\text{ch})_{x,y}^{(j)}|, \tag{14}$$

де $\prod_{i=1}^{10} |\eta(\text{ch})_{x,y}^{(i)}|$ - добуток 10-и модулів НЧ-компонент;

$\prod_{j=37}^{64} |\eta(\text{ch})_{x,y}^{(j)}|$ - добуток модулів компонент нижче головної діагоналі.

Умови належності сегменту до класу семантично-складних:

$$\left. \begin{aligned} \sigma \in M_d \ \& \ D_{\text{sptd}} \in P_d \\ \sigma \in M_d \ \& \ D_{\text{sptcl}} \in Q_d \\ \sigma \in M_d \ \& \ D_{\text{sptd}} \in P_d \ \& \ D_{\text{sptcl}} \in Q_d \end{aligned} \right\} \Rightarrow s_{x,y} \in W, \tag{15}$$

де M_d - множина сегментів, що є складними за показником σ динамічного діапазону амплітуд компонент у спектральному описі;

P_d - множина сегментів, що є складними за показником D_{sptd} складності у просторовому описі;

Q_d - множина сегментів, що є складними за показником D_{sptcl} структурної складності у спектральному представленні.

МЕТОД МАСКУВАННЯ ДАНИХ НА БАЗІ ВИКОРИСТАННЯ СТРУКТУРНИХ ОСОБЛИВОСТЕЙ¹⁶ ТА НАДМІРНОСТІ СЕГМЕНТІВ ЗОБРАЖЕНЬ

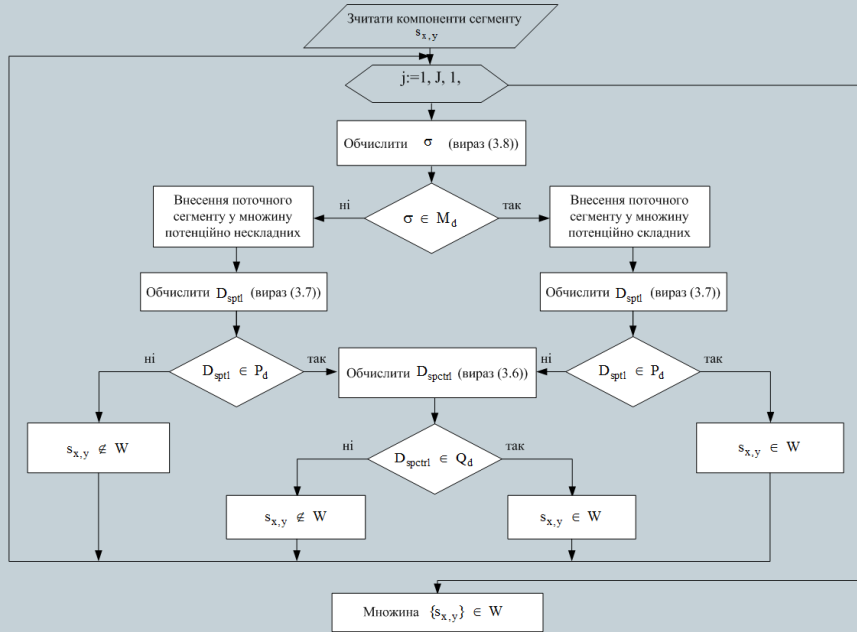


Рисунок 17– Загальна схема визначення належності сегменту до множини семантично-складних

МЕТОД МАСКУВАННЯ ДАНИХ НА БАЗІ ВИКОРИСТАННЯ СТРУКТУРНИХ ОСОБЛИВОСТЕЙ¹⁷ ТА НАДМІРНОСТІ СЕГМЕНТІВ ЗОБРАЖЕНЬ

Обчислення розмірності множини компонент, які може бути модифіковано:

$$L_{size} = \text{trunc} \frac{sg}{S}, \tag{16}$$

де s найчастіше приймається рівним 2.
 g - кількість виявлених значущих компонент.

Визначення індексів ψ компонент $\eta(\text{ch})_{x,y}$, що входять до множини L у межах одного сегменту $S_{x,y}$, та секретного ключа, який відомий на боці передавача та приймача, тобто:

$$\psi = X(\sigma, D_{\text{sptl}}; D_{\text{sptcl}}; L_{\text{size}}; K) \tag{17}$$

де X - хеш-функція від значень $\sigma, D_{\text{sptl}}, D_{\text{sptcl}}$, та L_{size} ,

K - секретний ключ.

Принцип нормування компоненти, що віднесено до множини L :

$$\eta'(\text{ch})_{x,y} := v_{\text{th}} \tag{18}$$

Принцип модифікації компонент у ході інкапсуляції біт секретного повідомлення:

$$\begin{cases} \eta(\text{ch})_{x,y} := \eta'(\text{ch})_{x,y} - \text{trunc}(0,25\eta'(\text{ch})_{x,y}) \mid b'(k)_{(i,j)} = 1 \\ \eta(\text{ch})_{x,y} := \eta'(\text{ch})_{x,y} + \text{trunc}(0,25\eta'(\text{ch})_{x,y}) \mid b'(k)_{(i,j)} = 0 \end{cases} \tag{19}$$

МЕТОД МАСКУВАННЯ ДАНИХ НА БАЗІ ВИКОРИСТАННЯ СТРУКТУРНИХ ОСОБЛИВОСТЕЙ¹⁸ ТА НАДМІРНОСТІ СЕГМЕНТІВ ЗОБРАЖЕНЬ

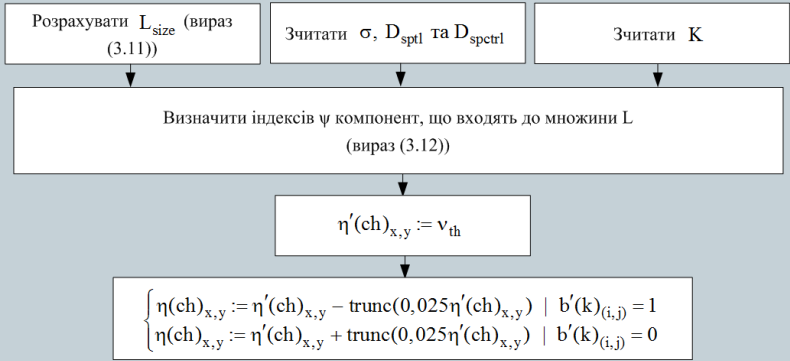


Рисунок 18 - Схематичний опис процесу визначення множини компонент для модифікації та безпосередньо інкапсуляції даних

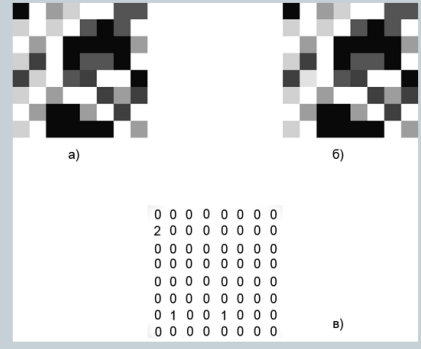


Рисунок 19 - Приклад вихідного сегменту просторовому представленні а), сегменту, у який було вбудовано 3 біта секретного повідомлення б), матриця абсолютних різниць компонент в)

ОЦІНКА ПРОДУКТИВНОСТІ МЕТОДУ МАСКУВАННЯ ДАНИХ НА БАЗІ ВИКОРИСТАННЯ 19
СТРУКТУРНИХ ОСОБЛИВОСТЕЙ СЕГМЕНТІВ ЗОБРАЖЕНЬ

Загальна кількість прихованих біт на базі компонент яскравості:

$$R = \frac{H}{8} \times \frac{W}{8} \times L_{size}, \quad (20)$$

де H та W – висота та ширина зображення у пікселях.

Максимальна швидкість передавання біт приховуваного повідомлення у базовому режимі:

$$R(БР)_t = \frac{H}{8} \times \frac{W}{8} \times L_{size} \times n(t)_p \times v_{sd} \times v_s, \quad (21)$$

де $n(t)_p$ - кількість кадрів Р-типу, що буде надіслано за одиницю часу t ;

v_{sd} - коефіцієнт, який показує, яка частина сегментів у кадрі є семантично складними; раніше вказувалося, що $v_{sd} = 0,2; 0,8$;

v_s - множник, що відображає, який саме розмір у кількості сегментів відносно І-кадру має поточний Р-кадр; $v_s = 0,8; 0,95$.

Максимальна швидкість передавання біт приховуваного повідомлення у селективному режимі:

$$R(СР)_t = \frac{H}{8} \times \frac{W}{8} \times L_{size} \times (n(t)_p - 1) \times v_{sd} \times v_s. \quad (22)$$

Максимальні величини

$$R(БР)_t = 32,832 \text{ кБайт.}$$

$$R(СР)_t = 21,888 \text{ кБайт}$$

Мінімальні величини

$$R(СР)_t = 1,728 \text{ кБайт.}$$

$$R(БР)_t = 6,912 \text{ кБайт.}$$

Доповідь закінчено. Дякую за увагу!

